

Ravnoteža u elektrolitnim otopinama

osnovni koncepti i definicije

- smjese
- otopine
- ionske otopine

smjese

$$x_B = \frac{n_B}{n_A + n_B + n_C + \dots} = \frac{n_B}{\sum_K n_K}$$

Standardno stanje svake komponente smjese je stanje čiste komponente pri standardnom tlaku $p^\circ = 100 \text{ kPa}$.

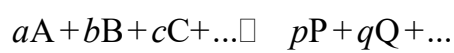
smjese

$$\ln a_B = \frac{\mu_B - \mu_B^\circ}{RT}$$

$$a_B = x_B \gamma_B$$

Kada je svim komponentama smjese aktivnosni koeficijent jednak jedan riječ je o idealnoj smjesi.

smjese



$$\nu_A = -a$$

$$\nu_B = -b$$

:

$$\nu_P = +p$$

$$\nu_Q = +q$$

smjese

$$K_a = \prod_K (a_K)^{\nu(K)}$$

aktivnosna konstanta ravnoteže

$$\begin{aligned} \text{ako je } p &= p^\circ \\ K_a &= K^\circ \end{aligned}$$

otopine

$$c_B = \frac{n_B}{V}$$

$$b_B = \frac{n_B}{m_A}$$

$$a_B = \frac{c_B \gamma_B}{c^\circ}$$

otopinu otopljene tvari B nazivamo idealnom ukoliko je $\gamma_B = 1$ i ne mijenja se dalnjim razrijedjivanjem

otopine

- standardno stanje otapala definirano kao za komponentu u smjesi, standardno stanje otopljene tvari je njegovo stanje u hipotetskoj idealnoj otopini standardne koncentracije ($c^\circ = 1 \text{ mol dm}^{-3}$) pri standardnom tlaku $p^\circ = 100 \text{ kPa}$.

ionske otopine

$$\mu_I = \left(\frac{\partial G}{\partial n_I} \right)_{T, p, n(J \neq I)}$$

ionske otopine

- prosječni aktivnosni koeficijent u slučaju otopine K_2SO_4

$$\bar{\gamma}_\pm = \sqrt[3]{\gamma^2(K^+) \cdot \gamma(SO_4^{2-})}$$

$$\bar{a}_\pm = \sqrt[3]{a^2(K^+) \cdot a(SO_4^{2-})}$$

ionske interakcije

- model ionskog oblaka
- ionska asocijacija
- ostale teorije

model ionskog oblaka

- model Debye-a i Hückela
- proširenja modela Debye-a i Hückela

ionska asocijacija

- Bjerrumova teorija
- Fuossova revizija
- Drugi Fuossov model
- Eksperimentalni dokazi ionske asocijacije
- Asocijacija vs. koordinacija

ostale teorije

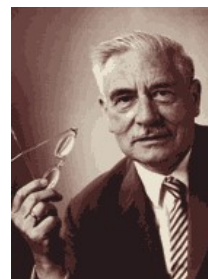
- a) Mayerova virijalna ekspanzija osmotskog tlaka
- b) *Mean Spherical Approximation*
- c) *Higher level theories*
- d) numeričke simulacije

Kako zamišljamo građu otopine?

tzv. primitivni model

- ioni - tvrde, nestlačive kugle s električkim nabojem $z_i e_0$
- otapalo – dielektrični fluidni kontinuum

model ionskog oblaka



Peter Debye (1884-1966)

Nobelova nagrada
1936.

model ionskog oblaka



Erich Hückel (1896 – 1980)

model ionskog oblaka

model Debye-a i Hückela

- 1. pristup – vrijedi za razrijedjene otopine

model Debye-a i Hückela

$$W_{\alpha\beta} = z_\beta e \varphi(r)$$

rad potreban da se ion β
dovede od beskonačne
udaljenosti do udaljenosti r od
iona α

model Debye-a i Hückela

- prema klasičnoj Boltzmann-Maxwelllovoj statistici gustoća naboja na udaljenosti r od iona α

$$\rho(r) = \frac{1}{V} \sum_{\beta} z_\beta e \cdot \exp\left(-\frac{W_{\alpha\beta}}{k_B T}\right)$$

model Debye-a i Hückela

Iz prethodnih jednadžbi \rightarrow Poisson-Boltzmannova jednadžba:

$$\nabla^2 \varphi(r) = -\frac{e}{\epsilon_0 \epsilon_r V} \sum_i N_i z_i \cdot \exp\left(\frac{-z_i e \varphi(r)}{k_B T}\right)$$

model Debye-a i Hückela

- limitiramo slučaj:
- potencijalna energija ionskih interakcija puno manja od energije termalnog gibanja iona

$$W_{\alpha\beta} = z_\beta e \varphi \ll k_B T$$

model Debye-a i Hückela

$$\nabla^2 \varphi(r) = -\frac{e \varphi}{\epsilon_0 \epsilon_r V k_B T} \sum_i N_i z_i^2$$

model Debye-a i Hückela

$$\varphi(r) = -\frac{z_i e}{4\pi \epsilon_0 \epsilon_r r} \cdot \frac{\exp\{-\kappa(r-\sigma)\}}{1 + \kappa\sigma}$$

model Debye-a i Hückela

prosječna debljina ionske atmosfere
Debye-va duljina
najvjerojatnija udaljenost ion-protuion

$$\frac{1}{\kappa} = \sqrt{\frac{\epsilon_0 \epsilon_r k_B T}{e^2 \sum_I N_I z_I^2}} = \sqrt{\frac{\epsilon_0 \epsilon_r R T}{2F^2 I_c}}$$

- uvrštavanjem brojčanih vrijednosti za F , $\epsilon(\text{H}_2\text{O})$ i R i za $T = 298,15 \text{ K}$

$$\frac{1}{\kappa} = \frac{0,3043 \text{ nm}}{(I_c / \text{mol dm}^{-3})^{1/2}}$$

$I_c / \text{mol dm}^{-3}$	κ^{-1}/nm
0,01	3,04
0,1	0,96
0,3	0,3

model Debye-a i Hückela

ionska jakost

$$I_c = \frac{1}{2} \sum_I c_I z_I^2$$

G. N. Lewis i M. Randall, 1921.

model Debye-a i Hückela

$$-\lg \gamma_I = \frac{A_c z_I^2 \sqrt{I_c / c^\circ}}{1 + \kappa \sigma}$$

model Debye-a i Hückela

$$A_c(\text{voda}, 298,15 \text{ K}) = 0,509$$

$$A_c(\text{voda}, 273,15 \text{ K}) = 0,492$$

$$A_c(\text{voda}, 373,15 \text{ K}) = 0,571$$

model Debye-a i Hückela

$$-\lg \gamma_I = \frac{A_b z_I^2 \sqrt{I_b / b^\circ}}{1 + \kappa \sigma}$$

model Debye-a i Hückela

$$A_b(voda, 298, 15 \text{ K}) = 0,511$$

$$A_b(voda, 273, 15 \text{ K}) = 0,492$$

$$A_b(voda, 373, 15 \text{ K}) = 0,596$$

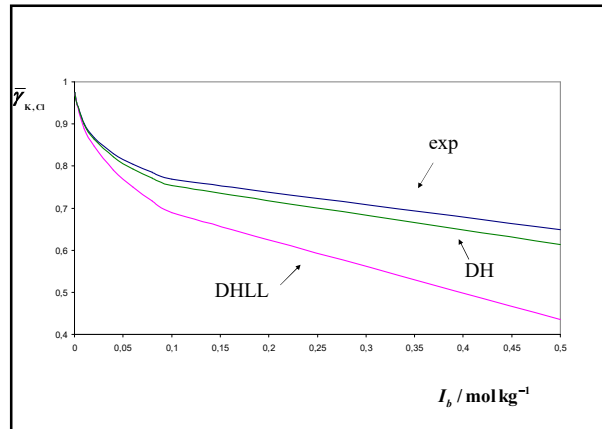
model Debye-a i Hückela

$$-\lg \bar{\gamma}_{\pm} = \frac{A_c |z_+ z_-| \sqrt{I_c / c^{\circ}}}{1 + \kappa \sigma}$$

Debye-Hückel limiting law (DHLL) granični zakon Debye-a i Hückela

u vrlo razrijedenim otopinama ($c \leq 0,001 \text{ mol dm}^{-3}$) polumjer ionske atmosfere postaje mnogo veći od polumjera iona; zanemaruje se $\kappa\sigma$

$$-\lg \bar{\gamma}_{\pm} = A_c |z_+ z_-| \sqrt{I_c / c^{\circ}}$$



anomalija jakih elektrolita

$b_{\text{HCl}} / \text{mol kg}^{-1}$	$\bar{\gamma}_{\text{H,Cl}}$
0,0005	0,975
0,001	0,965
0,005	0,928
0,01	0,904
0,05	0,83
0,1	0,796
0,5	0,757
1	0,809
2	1,009
4	1,762
6	3,22
8	5,9
10	10,44
12	17,25
14	27,3
16	42,4

Model ionskog oblaka

c) proširenja modela Debye-a i Hückela

- “egzaktno” rješenje Poisson-Boltzmannove jednadžbe
- virijalno proširenje zakon Debye-a i Hückela

ionska asocijacija

- Bjerrumova teorija
- Fousova revizija
- Drugi Fousov model
- Eksperimentalni dokazi ionske asocijacije
- Asocijacija vs. koordinacija

Ravnoteže u elektrolitnim otopinama

ionske interakcije

- model ionskog oblaka
- ionska asocijacija
- ostale teorije

- ### ionska asocijacija
- Bjerrumova teorija ionske asocijacije (1926)
 - Fousova revizija
 - Eksperimentalni dokazi ionske asocijacije

Bjerrumova teorija



Niels Bjerrum (1879-1958)

Bjerrumova teorija

- primitivni model
- potpuna ioniziranost elektrolita
- interakcije između susjednih iona
- vjerojatnost da se ion α nađe na nekoj udaljenosti od iona β

Bjerrumova teorija

$$C \cdot \left\{ \exp\left(\frac{-W_{\alpha\beta}}{k_B T} \right) \right\} \cdot 4\pi r_{\alpha\beta}^2 = C \cdot \left\{ \exp\left(-\frac{z_a z_\beta e^2}{4\pi \epsilon_0 \epsilon_r r_{\alpha\beta} k_B T} \right) \right\} \cdot 4\pi r_{\alpha\beta}^2$$

Bjerrumova teorija

- gustoća vjerojatnosti ima minimum na karakterističnoj "kritičnoj" udaljenosti q :

$$q = -\frac{z_\alpha z_\beta e^2}{8\pi \epsilon_0 \epsilon_r k_B T}$$

voda, 25 °C, $q = 3,6 \text{ \AA}$

Bjerrumova teorija

- asocirani ionski par

$$\alpha = 4\pi C \int_{\sigma}^q r^2 \left\{ \exp\left(\frac{z^2 e^2}{4\pi \epsilon_0 \epsilon_r k_B T r} \right) \right\} dr$$

- stupanj asocijacije – udjel ionskih parova u ukupnoj koncentraciji simetričnog binarnog elektrolita

Bjerrumova teorija

$$K_c(\text{assn.}) = \frac{\alpha c^\circ}{(1-\alpha)^2 c}$$

koncentracijska konstanta stabilnosti ionskog para

$$K^\circ(\text{assn.}) = \frac{\alpha c^\circ}{(1-\alpha)^2 (\bar{\gamma}_\pm)^2 c}$$

Bjerrumova teorija

Fuossova korekcija Bjerrumove teorije

- matematičke korekcije Bjerrumove teorije
- alternativni pristup bez proizvoljnosti izbora q

Bjerrumova teorija

Fuossova korekcija Bjerrumove teorije

$$K^\circ (\text{assn.}) = \frac{4\pi\sigma^4 L}{q} \cdot \exp\left(\frac{2q}{\sigma}\right)$$

eksperimentalni dokazi za teoriju asocijacije

konduktometrijska mjerjenja
elektronski spektri
ramanski spektri
ultrazvučna apsorpcija

ostale teorije

- J. E. Mayer
- opći sustavni model, također zasnovan na primitivnom modelu
- matematički složeniji od D&H i Bjerrumovog modela
- nastaju tzv. ionski klasteri

ostale teorije

Teorije više razine
(*Higher level theories*)

napuštanje originalnog primitivnog modela

Born-Oppenheimerova razina

Schrödingerova razina

ostale teorije

- numeričke simulacije
- Monte Carlo metoda
- metode tzv. molekulske dinamike

numeričke simulacije

a) Monte Carlo metoda (stohastička)

b) molekulska dinamika (deterministička)

Ravnoteže u elektrokemijskim člancima

- elektrokemijski sustav - pretvaranje energije kemijskih procesa u električnu energiju
- prijenos nabroja između elektronskog vodiča (elektrode) i ionskog vodiča (otopine elektrolita)
- uspostava razlike potencijala
 - elektromotivnost, ravnotežni napon (*elektromotorna sila*)
- elektrokemijski članci - dvije elektrode odvojene nekom elektrolitnom otopinom

vrste članaka

- galvanski članak
- elektrolitni članak

- elektrode:
 - krutine (Pt, Au)
 - tekući metali (Hg, amalgami)
 - ugljik (grafit)
 - poluvodiči (Si)
- elektroliti:
 - otopine koje sadrže H^+ , Na^+ , Cl^- ione u vodenim ili nevodenim otapalima
 - vodljivi polimeri
 - kruti elektroliti

- mjerjenje:
 - općenito se mjeri razlika potencijala (napon) između dviju elektroda (cca 1 V)
- voltmeter
- mjerimo razliku potencijala; elektromotivnost ili elektromotornu силу (povijesni naziv)
- razlika električnih potencijala kada se sva kemijska energija pretvara u električnu

- ukupna reakcija u članku - reakcije na obje elektrode
- radna (ili indikatorska) elektroda
- referentna elektroda
- referentne elektrode:
 - standardna vodikova elektroda
 - kalomel elektroda (0,242 V)
 - Ag/AgCl elektroda (0,197 V)

indikatorske elektrode

- elektrode prve vrste
- elektrode druge vrste
- elektrode treće vrste
- redoks-elektrode

elektrode prve vrste

- atomi kovine u ravnoteži s pripadnim kationima u otopini
- bakar uronjen u otopinu iona Cu^{2+}

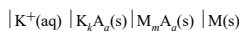
elektrode druge vrste (drugog reda)

- kovina presvučena poroznim slojem neke slabo topljive soli te kovine i uronjena u otopinu koja sadrži ione koji grade tu slabo topljivu sol
- srebro presvučeno slojem srebrova jodida i uronjeno u otopinu jodidnih iona

elektrode treće vrste

sastoje se od

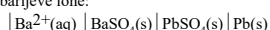
- kovine M
- sloja soli kovine M i aniona A, M_mA_a
- sloja soli aniona A i kovine K, K_kA_a
- otopine koja sadrži ione kovine K



reverzibilne su na ione K, M i A.

primjer

olovo prekriveno slojem olovnog sulfata i barijeva sulfata, te uronjeno u otopinu koja sadrži barijeve ione:



elektrode treće vrste

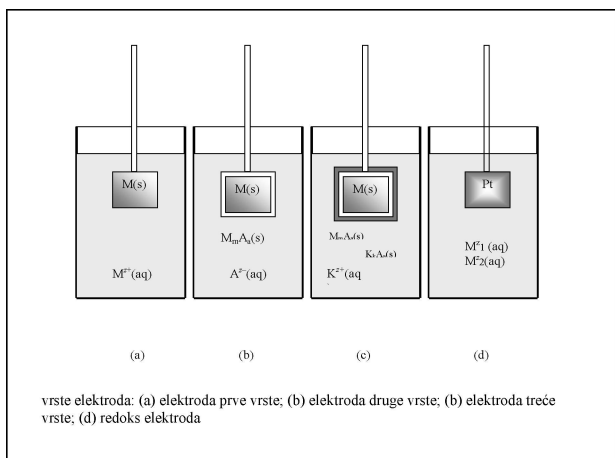


redoks-elektrode

- elektrode kod kojih materijal same elektrode (kovina) ne sudjeluje u redoks reakciji
- npr. Pt elektroda uronjena u otopinu $\text{Sn}(\text{IV})$ i $\text{Sn}(\text{II})$ iona

vodikova elektroda

- poseban slučaj redoks-elektrode

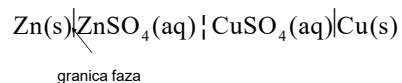
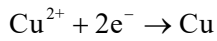
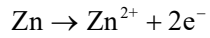
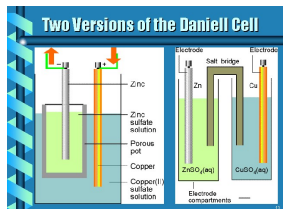


Daniellov članak

- John Frederic Daniell (1790-1845)



Daniellov članak



$$E = \varphi_{Cu} - \varphi_{Zn}$$

$$E = \lim_{I \rightarrow 0} (\varphi_{Cu} - \varphi_{Zn})$$

$$E = \varphi_D - \varphi_L$$

- jedna elektroda kao ishodište, njezin potencijal jednak nuli - standardna vodikova elektroda (*Standard Hydrogen Electrode, SHE*)
- odabir standardne elektrode omogućuje definiranje elektrodnih potencijala
- elektrodni potencijal neke elektrode (E) je električni potencijal te elektrode u odnosu na SHE

$$E(Cu^{2+}|Cu) = \varphi_{Cu} - \varphi_{SHE}$$

$$E(Zn^{2+}|Zn) = \varphi_{Zn} - \varphi_{SHE}$$

$$E\left(\text{Zn(s)} \mid \text{ZnSO}_4\text{(aq)} \parallel \text{CuSO}_4\text{(aq)} \mid \text{Cu(s)}\right) = E\left(\text{Cu}^{2+} \mid \text{Cu}\right) - E\left(\text{Zn}^{2+} \mid \text{Zn}\right)$$

$$E_{\text{el}} = E\left(\text{Cu}^{2+} \mid \text{Cu}\right) - E\left(\text{Zn}^{2+} \mid \text{Zn}\right)$$

$$E_{\text{el}} = E_{\text{D}} - E_{\text{L}}$$

- standardni elektrodni potencijal E°
- definicija

$$E^\circ = E_{\text{D}}^\circ - E_{\text{L}}^\circ$$

• standardni elektrodni potencijali u vodenim otopinama pri 25° C																						
<table border="1"> <thead> <tr> <th></th> <th>E° / V</th> </tr> </thead> <tbody> <tr> <td>• $\text{Li}^+(\text{aq}) + e^- \rightarrow \text{Li(s)}$</td> <td>-3.04</td> </tr> <tr> <td>• $\text{K}^+(\text{aq}) + e^- \rightarrow \text{K(s)}$</td> <td>-2.92</td> </tr> <tr> <td>• $\text{Ca}^{2+}(\text{aq}) + 2 e^- \rightarrow \text{Ca(s)}$</td> <td>-2.76</td> </tr> <tr> <td>• $\text{Na}^+(\text{aq}) + e^- \rightarrow \text{Na(s)}$</td> <td>-2.71</td> </tr> <tr> <td>• $\text{Mg}^{2+}(\text{aq}) + 2 e^- \rightarrow \text{Mg(s)}$</td> <td>-2.38</td> </tr> <tr> <td>• $\text{Al}^{3+}(\text{aq}) + 3 e^- \rightarrow \text{Al(s)}$</td> <td>-1.66</td> </tr> <tr> <td>• $2\text{H}_2\text{O(l)} + 2 e^- \rightarrow \text{H}_2\text{(g)} + 2\text{OH}^-(\text{aq})$</td> <td>-0.83</td> </tr> <tr> <td>• $\text{Zn}^{2+}(\text{aq}) + 2 e^- \rightarrow \text{Zn(s)}$</td> <td>-0.76</td> </tr> <tr> <td>• $\text{Cr}^{3+}(\text{aq}) + 3 e^- \rightarrow \text{Cr(s)}$</td> <td>-0.74</td> </tr> <tr> <td>• $\text{Fe}^{2+}(\text{aq}) + 2 e^- \rightarrow \text{Fe(s)}$</td> <td>-0.41</td> </tr> </tbody> </table>		E° / V	• $\text{Li}^+(\text{aq}) + e^- \rightarrow \text{Li(s)}$	-3.04	• $\text{K}^+(\text{aq}) + e^- \rightarrow \text{K(s)}$	-2.92	• $\text{Ca}^{2+}(\text{aq}) + 2 e^- \rightarrow \text{Ca(s)}$	-2.76	• $\text{Na}^+(\text{aq}) + e^- \rightarrow \text{Na(s)}$	-2.71	• $\text{Mg}^{2+}(\text{aq}) + 2 e^- \rightarrow \text{Mg(s)}$	-2.38	• $\text{Al}^{3+}(\text{aq}) + 3 e^- \rightarrow \text{Al(s)}$	-1.66	• $2\text{H}_2\text{O(l)} + 2 e^- \rightarrow \text{H}_2\text{(g)} + 2\text{OH}^-(\text{aq})$	-0.83	• $\text{Zn}^{2+}(\text{aq}) + 2 e^- \rightarrow \text{Zn(s)}$	-0.76	• $\text{Cr}^{3+}(\text{aq}) + 3 e^- \rightarrow \text{Cr(s)}$	-0.74	• $\text{Fe}^{2+}(\text{aq}) + 2 e^- \rightarrow \text{Fe(s)}$	-0.41
	E° / V																					
• $\text{Li}^+(\text{aq}) + e^- \rightarrow \text{Li(s)}$	-3.04																					
• $\text{K}^+(\text{aq}) + e^- \rightarrow \text{K(s)}$	-2.92																					
• $\text{Ca}^{2+}(\text{aq}) + 2 e^- \rightarrow \text{Ca(s)}$	-2.76																					
• $\text{Na}^+(\text{aq}) + e^- \rightarrow \text{Na(s)}$	-2.71																					
• $\text{Mg}^{2+}(\text{aq}) + 2 e^- \rightarrow \text{Mg(s)}$	-2.38																					
• $\text{Al}^{3+}(\text{aq}) + 3 e^- \rightarrow \text{Al(s)}$	-1.66																					
• $2\text{H}_2\text{O(l)} + 2 e^- \rightarrow \text{H}_2\text{(g)} + 2\text{OH}^-(\text{aq})$	-0.83																					
• $\text{Zn}^{2+}(\text{aq}) + 2 e^- \rightarrow \text{Zn(s)}$	-0.76																					
• $\text{Cr}^{3+}(\text{aq}) + 3 e^- \rightarrow \text{Cr(s)}$	-0.74																					
• $\text{Fe}^{2+}(\text{aq}) + 2 e^- \rightarrow \text{Fe(s)}$	-0.41																					

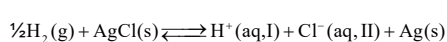
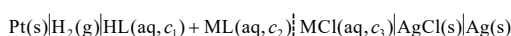
Definicija i interpretacija pH

Sörensen 1909.

$$\text{pH} = -\lg \frac{[\text{H}^+]}{c^\circ}$$

$$\text{pH} = -\lg a(\text{H}^+) = -\lg \frac{[\text{H}^+] \gamma_{\text{H}}}{c^\circ}$$

Definicija i interpretacija pH



$$E = E_j - \frac{RT \ln 10}{vF} \lg \frac{a(\text{H}^+)_{\text{I}} \cdot a(\text{Cl}^-)_{\text{II}} \cdot a(\text{Ag})}{a(\text{AgCl}) \cdot \sqrt{a(\text{H}_2)}} + E_j$$

Definicija i interpretacija pH

- Bates-Guggenheim konvencija:

$$-\lg \gamma_{\text{Cl,H}}^{\text{BG}} = \frac{A_c \sqrt{I_c / c^\circ}}{1 + B\sigma \sqrt{I_c / c^\circ}}$$

prema dogovoru: $B \cdot \sigma = 1,5 \rightarrow r(\text{Cl}) = 4,6 \text{ \AA}$

Definicija i interpretacija pH

$$E = E^\circ - \frac{RT \ln 10}{\nu F} \lg \frac{[\text{Cl}^-] \gamma_{\text{Cl}}^{\text{BG}}}{c^\circ} + \frac{RT \ln 10}{\nu F} \lg \frac{[\text{H}^+] \gamma_{\text{H}}^{\text{BG}}}{c^\circ}$$

$$= E^\circ - \frac{RT \ln 10}{\nu F} \lg \frac{[\text{Cl}^-] \gamma_{\text{Cl}}^{\text{BG}}}{c^\circ} + \frac{RT \ln 10}{\nu F} \text{pH}$$

Definicija i interpretacija pH

difuzijski potencijal:

$c(\text{HCl})/c^\circ$	E/mV	ΔpH
1	14,1	0,24
0,1	4,6	0,078
0,01	3,0	0,051

Definicija i interpretacija pH

sastavi standardnih otopina:

- KH tartarat
- KH ftalat
- KH_2PO_4 i Na_2HPO_4 (različiti omjeri)
- $\text{Na}_2\text{B}_4\text{O}_7$

Definicija i interpretacija pH

- u praksi se ne rabi vodikova elektroda
- rabi se najčešće staklena elektroda

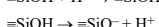
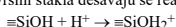
odziv elektrode?
tzv. Nernstovski nagib 59,17 mV pri 25 °C

staklena elektroda

osjetljiva na vodikove ione

koristi se za određivanje pH

slabije žice prevučene slojem AgCl i uredjene u otopinu HCl i staklena membrana na površini stakla dešavaju se reakcije nabijanja amfoternih skupina



elektromotorna sila staklene elektrode

$$E = E^\circ + \alpha \frac{RT \ln 10}{F} \log a(\text{H}^+)$$

gdje je α odstupanje od idealnog stanja ($0,95 \leq \alpha \leq 1$), odnosno

$$E = E^\circ - \alpha \frac{RT \ln 10}{F} \text{pH}$$

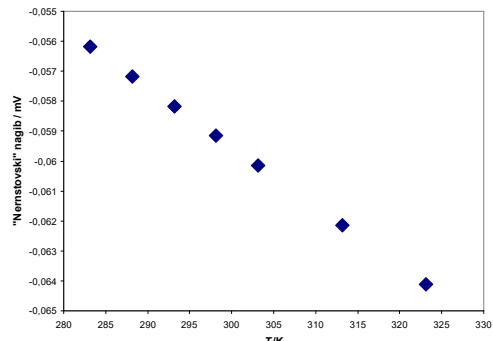
Definicija i interpretacija pH

u uvjetima $I_c \leq 0,1 c^\circ, 2 < \text{pH} < 12$ vrijedi:

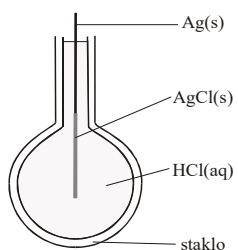
$$\text{pH} \approx -\lg \left(\frac{[\text{H}^+]}{c^\circ} \bar{\gamma}_\pm \right)$$

ion-selektivne elektrode

- elektrodni potencijal ovisi o koncentraciji jedne vrste iona
- membranske elektrode, na membrani se uspostavlja ravnoteža reakcije **izmjene iona** između otopine i čvrste faze u membrani
- senzitivne su na ione sadržane u čvrstoj fazi membrane (npr. ione vodika, bakra, željeza, cinka, kalcija, olova, kloridne, fluoridne, cianidne ione...)



staklena elektroda



staklena elektroda

- 1905. uočeno selektivno djelovanje stakla
- 1919. proizvedena prva staklena elektroda
- 1930. započinje intenzivna primjena – problem pojačala
- debљina staklene membrane 30-100 μm
- električni otpor 10^6 – $10^9 \Omega$
- unutarnja referentna elektroda Ag/AgCl, ponekad Thalamid referentna elektroda

staklena elektroda

- alkalijska pogreška
- kiselinska pogreška
- $2 \leq \text{pH} \leq 12$

ion-selektivne elektrode

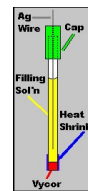
- staklene elektrode za druge monovalentne katione
- ion selektivne elektrode s čvrstom membranom
- selektivne elektrode s heterogenom čvrstom membranom
- selektivne elektrode s tekućom membranom
- enzimske elektrode

referentne elektrode

- dobro definiran i stalan potencijal
- najčešće elektrode druge vrste sa stalnim sastavom otopine
- kalomelova elektroda
- Ag/AgCl elektroda

Ag | AgCl elektroda

Ag | AgCl | Cl⁻



- zasićena Ag | AgCl elektroda
- c(KCl) = 3 mol dm⁻³
- c(KCl) = 1 mol dm⁻³
- c(KCl) = 0,1 mol dm⁻³

Ag | AgCl elektroda

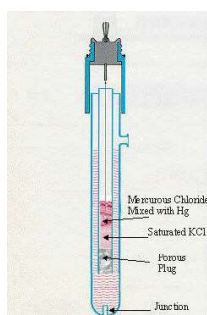
Potencijal (E/mV) referentne elektrode srebro-srebrov klorid (Ag/AgCl)
(prema H. Galster, *pH Measurement*, VCH, Weinheim, 1991.)

[KCl]/mol dm ⁻³	$\theta/^\circ\text{C}$					
	10	15	20	25	30	40
1	244,4	241,8	239,6	236,3	233,4	227,3
3	217,4	214,0	210,5	207,0	203,4	196,1
zasićena otopina	211,5	206,8	201,9	197,0	191,9	181,4

kalomelova elektroda

- Hg | Hg₂Cl₂ | Cl⁻
- Hg₂Cl₂ = kalomel

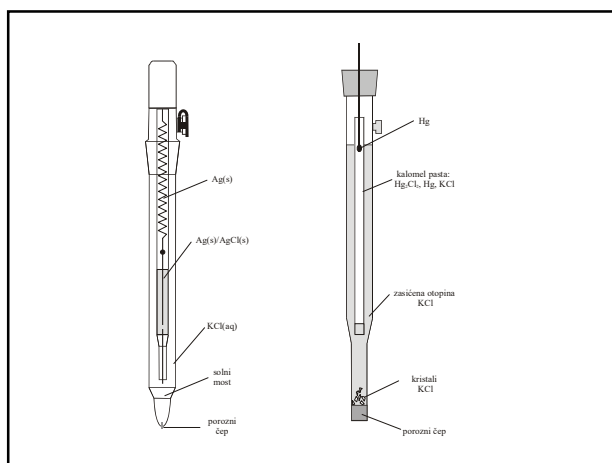
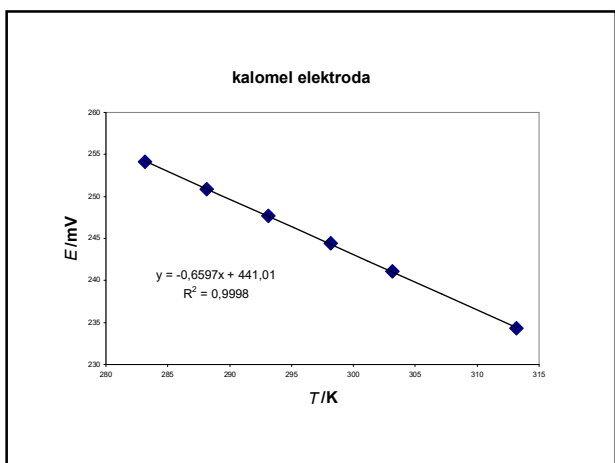
kalomelova elektroda



kalomelova elektroda

Potencijal (E/mV) referentne kalomelove elektrode (Hg/Hg₂Cl₂)
(prema D. J. G. Ives and i G. J. Janz, *Reference Electrodes*, Academic Press, New York, London, 1961.)

[KCl]/mol dm ⁻³	$\theta/^\circ\text{C}$					
	10	15	20	25	30	40
0,1	334,3		334,0	333,7	333,2	331,6
1,0	283,9		281,5	280,1	278,6	275,3
zasićena otopina	254,1	250,9	247,7	244,4	241,1	234,3



referentne elektrode

- $\text{Hg} \mid \text{Hg}_2\text{SO}_4 \mid \text{K}_2\text{SO}_4$
- nevodeni medij:
- $\text{Ag} \mid \text{Ag}^+$ ($0,01 \text{ mol dm}^{-3}$ u CH_3CN)

kombinirana elektroda

- staklena i referentna elektroda u jednom staklenom nosaču
- referentna elektroda gotovo uvijek Ag/AgCl

